

# SUR LES REPRÉSENTATIONS DE KRAMMER GÉNÉRIQUES

IVAN MARIN

**Abstract.** We define a representation of the Artin groups of type ADE by monodromy of generalized KZ-systems which is shown to be isomorphic to the generalized Krammer representations originally defined by A.M. Cohen and D. Wales. It follows that all pure Artin group of spherical type are residually nilpotent. We also deduce from this that these irreducible representations are Zariski-dense in the corresponding general linear group, and discuss unitarity properties. As group-theoretical applications of the Zariski density of these faithful representations we give proofs of non-decomposition in direct products of several subgroups of Artin groups.

## 1. INTRODUCTION

Les groupes d'Artin, ou d'Artin-Tits, sont les généralisations des groupes de tresses associés à chacun des groupes de Coxeter finis. Ils apparaissent comme espaces d'Eilenberg-MacLane de variétés algébriques complexes, quotients d'un complémentaire d'arrangement d'hyperplans (« espace de configuration ») par le groupe de Coxeter correspondant. Cela permet notamment de construire une grande partie de leurs représentations par monodromie de systèmes différentiels sur cet espace de configuration, par la déformation de représentations du groupe de Coxeter associé. Il s'agit d'une généralisation des systèmes de Knizhnik-Zamolodchikov pour le groupe de tresses classique. Les représentations des groupes d'Artin qui apparaissent de cette façon sont plus faciles à comprendre que les autres à certains points de vue, quand les questions qui se posent peuvent être traduits en termes du système différentiel dont elles proviennent.

Parmi les représentations du groupe de tresses classique, une représentation retient particulièrement l'attention depuis quelques années. Il s'agit d'une représentation irréductible de l'algèbre de Birman-Wenzl-Murakami, introduite en 1989, qui a été particulièrement étudiée par D. Krammer et dont il a montré en 2000, en concurrence avec S. Bigelow, qu'elle était fidèle (cf. [Kr, Bi]). Cette représentation apparaît également dans les travaux de R. Lawrence [L] en 1991, c'est pourquoi elle est parfois appelée représentation de Lawrence-Krammer. On montre facilement que ces différentes constructions donnent lieu à des représentations équivalentes. Pour des comparaisons explicites, on pourra consulter [PP, Z].

Les représentations de l'algèbre de Birman-Wenzl-Murakami font partie des représentations qui peuvent s'obtenir par monodromie. D'autre part, la représentation de Krammer et la preuve de sa fidélité a été généralisée, par Cohen et Wales [CW] en types ADE, et par Digne [D] pour tous les types crystallographiques. Comme il s'agit essentiellement de la seule représentation de ces groupes dont la fidélité soit connue, son étude présente un intérêt particulier.

Le but de ce travail est, d'une part, de construire un système différentiel sur l'espace de configuration en types ADE, c'est-à-dire une « représentation infinitésimale » (théorème 1), dont la monodromie est la représentation de Krammer en types ADE (théorème 2).

Cette construction nous permet de définir une forme quadratique infinitésimale qui explique naturellement l'apparition de structures unitaires sur la représentation de Krammer en type A, et conjecturalement en types D et E (cf. [Ma5, Ma4]).

D'autre part, elle permet de déterminer l'enveloppe algébrique des représentations de Krammer, et de déterminer la décomposition de ses puissances tensorielles. Nous montrons ici (théorème 3) que le groupe d'Artin considéré est Zariski-dense dans le groupe linéaire associé à la représentation de Krammer, et qu'il en est déjà de même pour certains de ses sous-groupes.

La fidélité de cette représentation permet d'obtenir des résultats nouveaux de théorie des groupes, par exemple la résiduelle nilpotence des groupes d'Artin purs. De ce résultat de densité pour la topologie de Zariski nous déduisons de plus des conséquences sur les possibles décompositions en produit direct de sous-groupes, notamment des sous-groupes d'indice fini, des groupes d'Artin.

En section 2 nous définissons l'action infinitésimale, étudions ses propriétés et introduisons une forme quadratique remarquable (|). En section 3 nous démontrons que la monodromie de cette action est isomorphe à la représentation de Krammer généralisée, en section 4 nous démontrons sa Zariski-densité et présentons des applications. Les sections 5 et 6 contiennent une étude des différents cas  $A_n$  et  $D_n$ , qui sert notamment à déterminer le discriminant de (|).

**Remerciements.** Les calculs ont bénéficié des ressources du centre de calcul Médecis de l'École Polytechnique. Je remercie de nombreuses personnes pour des échanges qui m'ont stimulé dans ce travail, en particulier Y. de Cornulier, F. Courtes, J. Crisp, F. Digne, D. Krammer, L. Paris.

## 2. REPRÉSENTATIONS DE KRAMMER INFINITÉSIMALES

**2.1. Définitions des opérateurs  $\tau_s$ .** On note  $a \bullet b = aba^{-1}$  et on fixe un corps  $\mathbb{k}$  de caractéristique 0. Soit  $W$  un groupe de Coxeter irréductible fini de type  $ADE$  de rang  $n$ , identifié à un sous-groupe de réflexions de  $\mathbb{C}^n$ ,  $\mathcal{R}$  l'ensemble de ses réflexions et  $\mathfrak{g}$  l'algèbre de Lie d'holonomie de l'arrangement d'hyperplans  $\mathcal{A}$  associée, telle que définie et étudiée dans [Ko]. Elle est définie sur  $\mathbb{k}$  et présentée par une famille de générateurs  $t_s, s \in \mathcal{R}$  soumise aux relations  $[t_s, t_X] = 0$  pour tout  $X \subset \mathbb{C}^n$  de codimension 2 intersection d'éléments de  $\mathcal{A}$ , avec  $s|_X = \text{Id}_X$  et  $t_X$  la somme des  $t_u$  pour  $u|_X = \text{Id}_X$ .

Un sous-ensemble de  $\mathcal{S}$  sera dit composé des réflexions simples de  $W$  s'il existe un système de racines de même type que  $W$  tel que  $\mathcal{S}$  est composé des réflexions associées aux racines simples. Pour tout  $\mathcal{S} \subset \mathcal{R}$  on notera  $\mathfrak{g}_{\mathcal{S}}$  la sous-algèbre de Lie de  $\mathfrak{g}$  engendrée par les éléments  $t_s, s \in \mathcal{S}$ .

Soit  $V$  un  $\mathbb{k}$ -espace vectoriel de base  $\{v_s, s \in \mathcal{R}\}$ , muni de l'action de  $W$  définie par  $w.v_s = v_{w \bullet s}$ . le vecteur  $\mathbf{v}$  somme des  $v_s$  pour  $s \in \mathcal{R}$  est  $W$ -invariant, et engendre  $V^W$  parce que toutes les réflexions sont conjuguées dans  $W$ . On note  $\delta_{u,s}$  le symbole de Kronecker, i.e.  $\delta_{u,s} = 1$  si  $u = s$ , 0 sinon, et  $\delta'_{u,s} = 1$  si  $u \neq s$  et  $us = su$ , 0 sinon.

On va définir, pour tout  $m \in \mathbb{k}$ , une famille d'éléments  $\tau_s \in \text{End}(V)$  pour  $s \in \mathcal{R}$ , dont on montrera ensuite qu'ils permettent de définir une représentation de  $\mathfrak{g}$ .

**Définition 1.** Pour tout  $s \in \mathcal{R}$  on note  $\tau_s \in \text{End}(V)$  l'endomorphisme défini par

$$\tau_s.v_u = v_{s \bullet u} - v_s + m\delta_{u,s}v_s + \delta'_{u,s}v_s,$$

soit encore

$$\tau_s \cdot v_u = \begin{cases} v_{s \bullet u} - v_s & \text{si } su \neq us \\ v_u & \text{si } su = us, u \neq s \\ mv_s & \text{si } u = s \end{cases}$$

On identifie  $w \in W$  à son action naturelle sur  $V$ .

**Lemme 1.** *Pour tous  $s \in \mathcal{R}$ ,  $w \in W$ , on a  $w\tau_s w^{-1} = \tau_{w \bullet s}$*

*Démonstration.* Soit  $u \in \mathcal{R}$ . On a

$$\begin{aligned} w\tau_s w^{-1} \cdot v_u &= w\tau_s \cdot v_{w^{-1} \bullet u} \\ &= w(v_{sw^{-1} \bullet u} - v_s + m\delta_{s, w^{-1} \bullet u} v_s + \delta'_{s, w^{-1} \bullet u} v_s) \\ &= v_{ws w^{-1} \bullet u} - v_{w \bullet s} + m\delta_{s, w^{-1} \bullet u} v_{w \bullet s} + \delta'_{s, w^{-1} \bullet u} v_{w \bullet s} \\ &= v_{(w \bullet s) \bullet u} - v_{w \bullet s} + m\delta_{w \bullet s, u} v_{w \bullet s} + \delta'_{w \bullet s, u} v_{w \bullet s} \\ &= \tau_{w \bullet s} \cdot v_u \end{aligned}$$

□

Remarquons que, identifiant toujours  $s \in \mathcal{R}$  à son action naturelle sur  $V$ , on a  $t_s = s - p_s$  avec

$$p_s \cdot v_u = \begin{cases} v_s & \text{si } su \neq us \\ 0 & \text{si } su = us, u \neq s \\ (1-m)v_s & \text{si } u = s \end{cases}$$

On en déduit  $wp_s w^{-1} = p_{w \bullet s}$ .

En particulier,  $s$  et  $p_s$  commutent et on a  $p_s^2 = (1-m)p_s$ . On vérifie facilement  $sp_s = p_s s = p_s$  pour tout  $s \in \mathcal{R}$  donc  $p_s \tau_s = \tau_s p_s = mp_s$ . On en déduit

$$\tau_s^3 - \tau_s - m\tau_s^2 + m = 0, \quad s = \frac{-1}{m+1}\tau_s^2 + \tau_s + \frac{1}{m+1} \text{ si } m \neq -1$$

et donc les spectres comparés de  $\tau_s$  et  $s$  sont

|          |   |    |     |
|----------|---|----|-----|
| $\tau_s$ | 1 | -1 | $m$ |
| $s$      | 1 | -1 | 1   |

**2.2. Une forme quadratique invariante.** Introduisons la forme bilinéaire symétrique telle que  $(v_r | v_s) = m - 1$  si  $r = s$ ,  $(v_r | v_s) = -1$  si  $rs \neq sr$  et  $(v_r | v_s) = 0$  sinon. Il est clair qu'elle est invariante pour l'action de  $W$ .

**Proposition 1.** *Lorsque  $( | )$  est non dégénérée et  $m \neq 1$ , pour tout  $s \in \mathcal{R}$ ,  $\frac{1}{1-m}p_s$  est le projecteur orthogonal sur  $\mathbb{k}v_s$  par rapport à cette forme et  $\tau_s$  est autoadjoint. Enfin,  $( | )$  est non dégénérée pour des valeurs génériques de  $m$  et, si  $\mathbb{k} \subset \mathbb{R}$ , c'est un produit scalaire pour  $m$  assez grand.*

*Démonstration.* Comme chaque réflexion est à la fois orthogonale par rapport à  $( | )$  et involutive, on en déduit que  $r$  est autoadjoint pour tout  $r \in \mathcal{R}$ . Comme on a  $p_r^2 = (1-m)p_r$  et  $\text{Imp}_r = \mathbb{k}v_r$ , il suffit de montrer que  $p_r$  est autoadjoint pour avoir la première partie de l'énoncé. On a  $p_r(v_s) = -(v_r | v_s)v_r$  d'où  $(p_r(v_s) | v_{s'}) = -(v_r | v_s)(v_r | v_{s'}) = (v_s | p_r(v_{s'}))$  et  $p_r$  est bien autoadjoint. Le déterminant de la matrice définissant  $( | )$  dans la base naturelle est un polynôme unitaire non constant en  $m$ , donc cette forme quadratique est bien non dégénérée pour  $m$  générique, et si  $\mathbb{k} \subset \mathbb{R}$  ses mineurs principaux sont également des polynômes unitaires non constant en  $m$ , donc sont strictement positifs si  $m$  est suffisamment grand. On en déduit d'après le critère de Sylvester que, pour  $m$  suffisamment grand,  $( | )$  est un produit scalaire. □

| Type  | Discriminant                 | Déf. > 0 ssi |
|-------|------------------------------|--------------|
| $E_6$ | $(m-21)(m-3)^{20}(m+3)^{15}$ | $m > 21$     |
| $E_7$ | $(m-33)(m-5)^{27}(m+3)^{35}$ | $m > 33$     |
| $E_8$ | $(m-57)(m-9)^{35}(m+3)^{84}$ | $m > 57$     |

TAB. 1 – Discriminant de  $(|)$  en type E.

Quand  $m$  n'est pas générique, on peut dire a priori la chose suivante. Par abus de langage, on appellera discriminant de  $(|)$  le déterminant de sa matrice dans la base formée des  $v_s, s \in \mathcal{R}$  pour un ordre donné sur  $\mathcal{R}$ . Il s'agit donc d'un polynôme unitaire en  $m$  à coefficients rationnels de degré  $\#\mathcal{R}$ .

Pour tout  $s \in \mathcal{R}$ , introduisons les nombres

$$\begin{aligned} c(W) &= \#\{s' \in \mathcal{R} \setminus \{s\} \mid s's = ss'\} \\ c'(W) &= \#\{s' \in \mathcal{R} \mid s's \neq ss'\} \end{aligned}$$

qui ne dépendent pas du choix de  $s$  puisque toutes les réflexions sont conjuguées entre elles, et notons  $V_1 \oplus \cdots \oplus V_r$  une décomposition en irréductibles de  $V$  en tant que  $W$ -module, avec  $\dim V_i \leq \dim V_{i+1}$ . On constate par examen de chacune des séries que cette décomposition est sans multiplicités, c'est-à-dire  $V_i \not\cong V_j$  pour  $i \neq j$ . D'autre part, comme  $W$  est de type ADE, toutes ces représentations sont absolument irréductibles et définies sur  $\mathbb{Q}$ . Ainsi  $(|)$  appartient au carré symétrique de  $V^*$  en tant que  $W$ -module, est  $W$ -invariant et sa dépendance en  $m$  est affine. Comme  $V$  est autodual en tant que  $W$ -module, on peut identifier canoniquement  $(|)$  à un élément, dépendant affinement de  $m$ , de  $\bigoplus_{i=1}^r \text{End}_W(V_i) \simeq \mathbb{k}^r$  et son discriminant se décompose comme produit de  $r$  facteurs de la forme  $Q_i(m)^{\dim V_i}$ , avec  $Q_i$  polynôme de degré 1 en  $m$ . On peut d'autre part supposer que  $V_1$  est la représentation triviale, engendrée par la somme  $\mathbf{v}$  des  $v_s$  pour  $s \in \mathcal{R}$ . On a  $(\mathbf{v}|\mathbf{v}) = (\#\mathcal{R})(m - \#\mathcal{R} + c(W))$ , donc  $m - \#\mathcal{R} + c(W)$  apparaît comme facteur irréductible du discriminant de  $(|)$ . Enfin,  $V \simeq V^*$  en tant que  $W$ -module, donc  $V^* \otimes V^*$  s'identifie à la représentation de permutation naturelle sur  $\mathcal{R} \times \mathcal{R}$ . Comme cette action comprend au moins trois parties stables symétriques  $\{(v_s, v_s) \mid s \in \mathcal{R}\}$ ,  $\{(v_s, v_u) \mid \langle s, u \rangle \simeq I_2(3)\}$  et  $\{(v_s, v_u) \mid \langle s, u \rangle \simeq I_2(2)\}$ , toutes non vides si  $n \geq 3$ , on en déduit  $r \geq 3$  si  $n \geq 3$ . On peut vérifier au cas par cas que  $r = 2$  pour  $n = 2$ ,  $r = 3$  pour  $W$  de type  $A_n$  avec  $n \geq 3$  et  $W$  de type  $E_6, E_7, E_8$ ,  $r = 4$  pour  $W$  de type  $D_n$  avec  $n \geq 5$  et  $r = 5$  pour  $W$  de type  $D_4$ , et déduire la valeur du discriminant de cette décomposition explicite. Nous obtenons plus loin la valeur du discriminant pour chacun de ces types par une méthode alternative, qui permet de plus de décrire la restriction de  $V$  à des sous-algèbres de Lie remarquables de  $\mathfrak{g}$ . Une fois les facteurs  $Q_i$  obtenus, une condition nécessaire et suffisante de définie positivité pour  $\mathbb{k} = \mathbb{R}$  est alors donnée par  $Q_i(m) > 0$  pour tout  $1 \leq i \leq r$ . Nous verrons type par type que cette condition s'exprime de la façon suivante.

**Proposition 2.** *Si  $\mathbb{k} = \mathbb{R}$ , la forme  $(|)$  est définie positive si et seulement si  $m > \#\mathcal{R} - c(W)$ .*

Cela découlera des propositions 11 et 12 pour les types classiques. Pour les types  $E$ , cela découle d'un calcul explicite (cf. table 1).

|                 |                        |                |       |       |       |
|-----------------|------------------------|----------------|-------|-------|-------|
| $W$             | $A_{n-1}$              | $D_n$          | $E_6$ | $E_7$ | $E_8$ |
| $\#\mathcal{R}$ | $\frac{n(n-1)}{2}$     | $n(n-1)$       | 36    | 63    | 120   |
| $c(W)$          | $\frac{(n-2)(n-3)}{2}$ | $n^2 - 5n + 7$ | 15    | 30    | 63    |

TAB. 2 – Dénombrément des groupes de Coxeter de type ADE

**2.3. Restriction aux sous-espaces  $E_X$ .** Soit  $X$  une intersection d'hyperplans de réflexion de codimension 2. On note

$$\mathcal{R}_X = \{g \in \mathcal{R} \mid \forall x \in X \ g(x) = x\}, \quad W_X = \{g \in W \mid \forall x \in X \ g(x) = x\}, \quad \tau_X = \sum_{g \in \mathcal{R}_X} \tau_g,$$

et  $E_X$  le sous-espace de  $V$  engendré par les  $v_s$  pour  $s \in \mathcal{R}_X$ . C'est un sous-espace stable de  $V$  pour l'action de  $W_X$ , mais également des  $\tau_s, p_s$  pour  $s \in \mathcal{R}_X$ . L'ensemble  $\mathcal{R}_X$  est l'ensemble des réflexions du sous-groupe parabolique  $W_X$  de  $W$ , lequel est de type  $I_2(2)$  ou  $I_2(3)$  car  $W$  est de type ADE. Plus précisément, tout couple  $(s_1, s_2)$  de réflexions distinctes engendre un tel sous-groupe  $W_X$ , de type  $I_2(2)$  si  $s_1 s_2 = s_2 s_1$ , de type  $I_2(3)$  sinon.

**2.3.1. Si  $W_X$  est de type  $I_2(2)$ .** Notons  $\mathcal{R}_X = \{s_1, s_2\}$ , avec  $s_1 s_2 = s_2 s_1$ , et prenons  $(v_{s_1}, v_{s_2})$  pour base de  $E_X$ . Dans cette base,

$$\tau_{s_1} = \begin{pmatrix} m & 0 \\ 0 & 1 \end{pmatrix}, \quad \tau_{s_2} = \begin{pmatrix} 1 & 0 \\ 0 & m \end{pmatrix},$$

donc  $\tau_X = (m+1)\text{Id}$  et  $[\tau_{s_1}, \tau_X] = [\tau_{s_2}, \tau_X] = 0$ .

**2.3.2. Si  $W_X$  est de type  $I_2(3)$ .** Notons  $\mathcal{R}_X = \{s_1, s_2, s_3\}$  et prenons  $(v_{s_1}, v_{s_2}, v_{s_3})$  pour base de  $E_X$ . Dans cette base,

$$\tau_{s_1} = \begin{pmatrix} m & -1 & -1 \\ 0 & 0 & 1 \\ 0 & 1 & 0 \end{pmatrix}, \quad \tau_{s_2} = \begin{pmatrix} 0 & 0 & 1 \\ -1 & m & -1 \\ 1 & 0 & 0 \end{pmatrix}, \quad \tau_{s_3} = \begin{pmatrix} 0 & 1 & 0 \\ 1 & 0 & 0 \\ -1 & -1 & m \end{pmatrix}$$

donc  $\tau_X = m\text{Id}$  et  $[\tau_{s_1}, \tau_X] = [\tau_{s_2}, \tau_X] = [\tau_{s_3}, \tau_X] = 0$ .

**2.4. Action du centre et irréductibilité.** Soit  $\tau$  la somme des  $\tau_s$  pour  $s \in \mathcal{R}$ . On a

$$\tau.v_s = \tau_s v_s + \sum_{s' \neq s s'} \tau_{s'} . v_s + \sum_{\substack{s' \neq s' \\ s' s = s s'}} \tau_{s'} . v_s = m v_s + \left( \sum_{s' \neq s' s} v_{s' \bullet s} - v_{s'} \right) + c(W) v_s$$

où l'on rappelle que  $c(W) = \#\{s' \in \mathcal{R} \setminus \{s\} \mid s' s = s s'\}$  ne dépend pas de  $s$  puisque toutes les réflexions sont conjuguées entre elles. De plus,

$$\sum_{s' \neq s' s} v_{s' \bullet s} - v_{s'} = 0$$

pour la même raison. On en déduit que  $\tau$  est un scalaire, qui vaut  $m + c(W)$ . Le nombre de réflexions et  $c(W)$  sont donnés par la table 2.

Soit maintenant  $\mathbf{v} \in V$  la somme des  $v_s$  pour  $s \in \mathcal{R}$ . Il est clairement invariant par l'action de  $W$ , et même engendre linéairement l'espace des vecteurs de  $V$  invariants par  $W$ . Pour tout  $s \in \mathcal{R}$ ,

$$\tau_s \cdot \mathbf{v} = \tau_s \cdot v_s + \sum_{ss' \neq s's} \tau_s \cdot v_{s'} + \sum_{\substack{s \neq s' \\ ss' = s's}} \tau_s \cdot v_{s'} = mv_s + \left( \sum_{s' \neq s's} v_{s \bullet s'} - v_s \right) + \sum_{\substack{s \neq s' \\ ss' = s's}} v_{s \bullet s'}$$

soit  $\tau_s \cdot \mathbf{v} = (m-1)v_s + s \cdot \mathbf{v} - c'(W)v_s = (m-1-c'(W))v_s + \mathbf{v}$  avec  $c'(W) = \#\{s' \in \mathcal{R} \mid s's \neq ss'\}$ , soit  $c(W) + c'(W) + 1 = \#\mathcal{R}$ .

On en déduit

**Proposition 3.** *Si  $V$  est semi-simple sous l'action des  $\tau_s$ ,  $s \in \mathcal{R}$ , et  $m \notin \{\#\mathcal{R} - c(W), -1\}$ , alors  $V$  est absolument irréductible pour cette action.*

*Démonstration.* Il suffit de montrer que  $V$  est irréductible pour  $\mathbb{k}$  algébriquement clos. Comme  $m \neq -1$ , l'action de  $s \in \mathcal{R}$  est un polynôme de celle de  $\tau_s$ , donc les sous-espaces stables pour l'action des  $\tau_s$  sont stables pour l'action de  $W$  puisque  $\mathcal{R}$  engendre  $W$ . Comme l'espace des vecteurs  $W$ -invariants de  $V$  est de dimension 1, il existe  $U \subset V$  irréductible sous l'action des  $\tau_s$ ,  $s \in \mathcal{R}$ , tel que  $\mathbf{v} \in U$ . Mais alors  $\tau_s \cdot \mathbf{v} - \mathbf{v} = (m - \#\mathcal{R} + c(W))v_s$  donc  $v_s \in U$  pour tout  $s \in \mathcal{R}$ , d'où  $U = V$  et  $V$  est irréductible.  $\square$

En particulier, pour  $m$  générique,  $V$  est irréductible d'après la proposition 1. Une légère variante de la preuve précédente permet de démontrer un résultat d'irréductibilité de  $V$  sous l'action des  $\tau_s$  pour  $s$  parcourant certaines parties  $\mathcal{S}$  de  $\mathcal{R}$ .

**Proposition 4.** *Soit  $\mathcal{S} \subset \mathcal{R}$  engendrant  $W$ . Si  $V$  est semi-simple sous l'action des  $\tau_s$ ,  $s \in \mathcal{S}$ , et  $m \notin \{\#\mathcal{R} - c(W), -1\}$ , alors  $V$  est absolument irréductible sous cette action.*

*Démonstration.* Comme précédemment, on suppose  $\mathbb{k}$  algébriquement clos. Les sous-espaces stables pour l'action des  $\tau_s$ ,  $s \in \mathcal{S}$  sont encore stables pour l'action de  $W$  puisque  $\mathcal{S}$  engendre  $W$ . Comme l'espace des vecteurs  $W$ -invariants de  $V$  est de dimension 1, il existe  $U \subset V$  irréductible sous l'action des  $\tau_s$ ,  $s \in \mathcal{S}$ , tel que  $\mathbf{v} \in U$ . Soit  $s \in \mathcal{S} \neq \emptyset$ . On a  $\tau_s \cdot \mathbf{v} - \mathbf{v} = (m - \#\mathcal{R} + c(W))v_s$  donc  $v_s \in U$ , et il en est de même de tout  $w \cdot v_s = v_{ws w^{-1}}$  pour  $w \in W$  puisque  $U$  est  $W$ -stable. Comme  $W$  agit transitivement sur  $\mathcal{R}$  on en déduit  $U = V$  et  $V$  est irréductible.  $\square$

**2.5. Représentation de Krammer infinitésimale.** Soit  $\mathfrak{B} = \mathbb{k}W \ltimes \text{Ug}$ , où  $\text{Ug}$  désigne l'algèbre enveloppante universelle de  $\mathfrak{g}$ . On dit qu'une représentation  $\rho$  de  $\mathfrak{B}$  est infinitésimalement unitaire par rapport à une forme quadratique si  $\rho(w)$  est orthogonal pour tout  $w \in W$  et  $\rho(t_s)$  est autoadjoint pour tout  $s \in \mathcal{R}$ .

**Théorème 1.** *L'application  $t_s \mapsto \tau_s$  étend le  $W$ -module  $V$  en une représentation  $\rho$  de  $\mathfrak{B}$ . Elle est infinitésimalement unitaire par rapport à  $(\mid)$  et absolument irréductible pour  $m$  générique. De plus, la somme  $T$  des  $t_s$  pour  $s \in \mathcal{R}$  agit par  $m + c(W)$ .*

*Démonstration.* D'après ce qui précède, il reste à vérifier les relations  $[\tau_s, \tau_X] = 0$  pour tout  $X$  de codimension 2 et  $s \in \mathcal{R}_X$ . Comme cette condition est polynomiale en  $m$ , il suffit de la vérifier pour  $m$  générique, et on peut donc supposer que  $(\mid)$  est non dégénérée d'après la proposition 1. Notons  $s_X = \sum_{s \in \mathcal{R}_X} s$ . L'espace  $E_X$  est stable par  $W_X$  et les  $\tau_s, p_s$  pour  $s \in \mathcal{R}_X$ , donc il en est de même de son orthogonal  $E_X^\perp$  par rapport à  $(\mid)$ . Comme  $wp_s = p_{w \bullet s} w$  et, pour  $s \in W_X$ ,  $p_s$  est un projecteur orthogonal sur  $v_s \in E_X$ , on déduit de  $t_r = r - p_r$  que

| Type      | $A_r, r \geq 1$ | $B_r, r \geq 2$ | $C_r, r \geq 3$ | $D_r, r \geq 4$ | $E_6$ | $E_7$ | $E_8$ | $F_4$ | $G_2$ |
|-----------|-----------------|-----------------|-----------------|-----------------|-------|-------|-------|-------|-------|
| Dimension | $r + 1$         | $2r + 1$        | $2r$            | $2r$            | 27    | 56    | 248   | 26    | 7     |

TAB. 3 – Dimensions des plus petites représentations irréductibles

$[\tau_s, \tau_X] - [s, s_X]$  s'annule sur  $E_X^\perp$ , donc que  $[\tau_s, \tau_X]$  s'annule sur  $E_X^\perp$  puisque  $ss_Xs = s_X$ . Il suffit donc de montrer que  $[\tau_s, \tau_X]$  s'annule sur  $E_X$ , ce qui a déjà été fait. L'absolue irréductibilité découle de la proposition 3.  $\square$

**2.6. Image de  $\mathfrak{g}$  dans  $\mathfrak{gl}(V)$ .** Nous allons montrer que le morphisme  $\mathfrak{g} \rightarrow \mathfrak{gl}(V)$  est surjectif. Pour ce faire, nous établissons d'abord la proposition générale suivante.

**Proposition 5.** *Soit  $V$  un  $\mathbb{k}$ -espace vectoriel de dimension finie, et  $\mathfrak{a}$  une sous-algèbre de Lie de  $\mathfrak{sl}(V)$  agissant de façon absolument irréductible sur  $V$ . Si  $\text{rg}(\mathfrak{a}) > \frac{1}{2} \dim V$ , alors  $\mathfrak{a} = \mathfrak{sl}(V)$ .*

*Démonstration.* On peut supposer  $\mathbb{k} = \mathbb{C}$ . Si  $\mathfrak{a}$  est simple, ce résultat découle de la classification des algèbres de Lie simples complexes et de leur plus petite représentation irréductible (cf. table 3). Il reste donc à démontrer que, sous ces hypothèses,  $\mathfrak{a}$  est simple. Comme  $\mathfrak{a}$  est réductive et l'algèbre dérivée  $\mathfrak{a}'$  vérifie les mêmes hypothèses et  $\mathfrak{a} \subset \mathfrak{sl}(V)$  on peut supposer que  $\mathfrak{a}$  est semi-simple. Décomposons  $\mathfrak{a} = \mathfrak{a}_1 \times \dots \times \mathfrak{a}_p$  suivant ses facteurs simples. On a  $p \geq 1$  et on veut montrer  $p = 1$ . Soient  $r_i$  les rangs des facteurs simples  $\mathfrak{a}_i$ . Comme  $V$  est irréductible elle s'écrit  $V = V_1 \otimes \dots \otimes V_p$  avec  $V_i$  représentation irréductible fidèle de  $\mathfrak{a}_i$ . En particulier, on a  $v_i = \dim V_i \geq r_i + 1$ . Notons  $v = \dim V$ ,  $r = \text{rg}(\mathfrak{a})$ . On a  $v = v_1 \dots v_p \geq (r_1 + 1) \dots (r_p + 1)$  et  $r > v/2$  par hypothèse d'où  $r = r_1 + \dots + r_p > \frac{1}{2}(r_1 + 1) \dots (r_p + 1)$ . Si  $p \geq 3$ ,

$$(r_1 + 1) \dots (r_p + 1) \geq 1 + (r_1 + \dots + r_p) + r_1 r_2 + r_2 r_3 + \dots + r_{p-1} r_p + r_p r_1 \geq 1 + 2r > 2r$$

ce qui contredit l'hypothèse. Il reste donc à exclure le cas  $p = 2$ . Notons alors  $a = r_1$ ,  $b = r_2$ . On doit avoir  $2(a + b) > (1 + a)(1 + b)$  soit  $ab < a + b - 1$ . Or  $ab \geq a + b - 1$  pour tous  $a, b$  entiers naturels non nuls : supposant  $a \leq b$ , c'est clair si  $a = 1$  et sinon  $a \geq 2$  donc  $ab \geq 2b \geq a + b > a + b - 1$ . On en déduit  $p = 1$  et la conclusion.  $\square$

Pour  $\mathcal{S} \subset \mathcal{R}$  on rappelle que  $\mathfrak{g}_{\mathcal{S}}$  est définie comme la sous-algèbre de Lie de  $\mathfrak{g}$  engendrée par les  $t_s$  pour  $s \in \mathcal{S}$ .

**Proposition 6.** *Pour des valeurs génériques de  $m$ , l'application  $\mathfrak{g} \rightarrow \mathfrak{gl}(V)$  est surjective. Il en est déjà de même de l'application  $\mathfrak{g}_{\mathcal{R}_0} \rightarrow \mathfrak{gl}(V)$  où  $\mathcal{R}_0$  correspond aux racines simples de  $W$ .*

*Démonstration.* Notons  $\mathfrak{a}$  l'image de  $\mathfrak{g}$  ou de  $\mathfrak{g}_{\mathcal{R}_0}$  dans  $\mathfrak{gl}(V)$ . Pour  $m$  générique,  $V$  est semi-simple comme représentation de  $\mathfrak{g}$  et de  $\mathfrak{g}_{\mathcal{R}_0}$  d'après la proposition 1 donc  $\mathfrak{a}$  est réductive et  $\mathfrak{a}' = [\mathfrak{a}, \mathfrak{a}] \subset \mathfrak{sl}(V)$  est semi-simple. D'après les propositions 3 et 4, elle agit de façon irréductible sur  $V$ . Pour  $\mathfrak{a}$  l'image de  $\mathfrak{g}$  il suffit de montrer  $\mathfrak{a}' = \mathfrak{sl}(V)$  car  $T$  agit par le scalaire  $m + c(W)$ , non nul pour  $m \neq -c(W)$ . Comme ce scalaire est également la trace de tout  $\tau_s$  il en est de même pour l'image de  $\mathfrak{g}_{\mathcal{R}_0}$ . On démontre  $\mathfrak{a}' = \mathfrak{sl}(V)$  par récurrence sur le rang de  $W$ .

Soit  $\tilde{W} \subset W$  un sous-groupe parabolique maximal irréductible de  $W$ , nécessairement de type ADE,  $\tilde{\mathfrak{g}}$  l'algèbre de Lie et  $\tilde{\mathcal{R}}$  l'ensemble de réflexions associés,  $\tilde{\mathcal{R}}_0 = \tilde{\mathcal{R}} \cap \mathcal{R}_0$  et  $\tilde{V}$  la représentation de Krammer infinitésimale correspondante. On a un morphisme injectif de  $\tilde{\mathfrak{g}}$ -modules  $\tilde{V} \rightarrow \text{Res}_{\tilde{\mathfrak{g}}} V$  induit par l'inclusion  $\tilde{\mathcal{R}} \subset \mathcal{R}$ . En particulier,  $\mathfrak{a}'$  contient l'image de  $[\tilde{\mathfrak{g}}, \tilde{\mathfrak{g}}]$

ou de  $[\tilde{\mathfrak{g}}_{\tilde{\mathcal{R}}_0}, \tilde{\mathfrak{g}}_{\tilde{\mathcal{R}}_0}]$  dans  $\mathfrak{sl}(\tilde{V}) \subset \mathfrak{sl}(V)$ , de rang supposé égal à  $\#\tilde{\mathcal{R}} - 1$ . Ainsi,  $\text{rg}(\mathfrak{a}') \geq \#\tilde{\mathcal{R}} - 1$  et l'on peut en déduire la conclusion en appliquant la proposition 5 pourvu que l'on puisse trouver  $\tilde{W}$  avec  $\#\tilde{\mathcal{R}} - 1 > \frac{1}{2}\#\mathcal{R}$  et tel que  $\tilde{\mathcal{R}}_0$  corresponde aux racines simples de  $\tilde{W}$ . Or, prenant pour parabolique maximal un groupe de type  $A_{n-1}, D_{n-1}, D_5, E_6, E_7$  suivant que  $W$  est de type  $A_n, D_n, E_6, E_7, E_8$  on constate aisément (cf. table 2) que ces hypothèses sont vérifiées pourvu que  $W$  soit de rang au moins 5. On complète cette démonstration en vérifiant que  $\mathfrak{g} = \mathfrak{gl}(V)$  pour au moins une valeur de  $m$ , au cas par cas sur  $A_1, A_2, A_3, A_4, D_4$  en prenant par exemple  $m = 7$  pour  $A_2, A_3$  et  $m = 8$  pour  $A_4, D_4$ . (Sur les ordinateurs actuels, le calcul effectif dure moins de dix minutes.)  $\square$

### 3. IDENTIFICATION AVEC LES REPRÉSENTATIONS DE KRAMMER

On suppose désormais  $\mathbb{k} = \mathbb{C}$ . Nous montrons ici que la monodromie de la représentation infinitésimale  $V$  est isomorphe, pour des valeurs génériques de  $h$  ou bien pour  $h$  un paramètre formel, à la représentation de Krammer généralisée introduite dans [CW]. Comme le calcul de la monodromie est très délicat, on utilise la rigidité de certaines algèbres quotients des algèbres de groupe de certains groupes de réflexion (complexes) pour montrer que ces deux représentations sont isomorphes.

On rappelle tout d'abord certaines notations classiques. On suppose  $W$  de type ADE défini par un système de racines, et on note  $\{s_1, \dots, s_n\}$  l'ensemble des réflexions simples correspondantes, étiquetées suivant l'ordre de [Bo]. Par référence au diagramme de Coxeter, on dira que  $s_i$  est relié à  $s_j$  si  $\langle s_i, s_j \rangle$  est de type  $I_2(3)$ , et que ces deux réflexions ne sont pas reliées si  $\langle s_i, s_j \rangle$  est de type  $I_2(2)$ . On définit le groupe de tresses pures  $P$  associé à  $W$  comme le groupe fondamental de  $\mathbb{C}^n \setminus \bigcup \mathcal{A}$ , et le groupe d'Artin  $B$  s'identifie au groupe fondamental de l'espace quotient par  $W$ . On le définit ici algébriquement par générateurs  $\sigma_1, \dots, \sigma_n$  et relations  $\sigma_i \sigma_j = \sigma_j \sigma_i$  si  $s_i$  et  $s_j$  ne sont pas reliées,  $\sigma_i \sigma_j \sigma_i = \sigma_j \sigma_i \sigma_j$  si elles le sont. On a un morphisme surjectif  $\pi : B \rightarrow W$  de noyau  $P$  tel que  $\pi(\sigma_i) = s_i$  pour tout  $i \in [1, n]$ . A toute représentation  $\rho$  de  $\mathfrak{B} = \mathbb{C}W \rtimes \mathfrak{U}\mathfrak{g}$  on associe classiquement une famille à un paramètre complexe  $h$  de représentations de  $P$  par monodromie des systèmes différentiels  $dF = \omega F$  avec

$$\omega = h \sum_{s \in \mathcal{R}} \rho(t_s) d \log \alpha_s$$

où  $\alpha_s$  est une forme linéaire sur  $\mathbb{C}^n$  de noyau  $\text{Ker}(s - \text{Id})$ , et cette action s'étend naturellement en une action de  $B$  par passage au quotient par  $W$  du fibré à connexion correspondant. Si  $H$  est l'hyperplan correspondant à  $s$ , on notera par abus  $\alpha_H = \alpha_s$ . Si  $\sigma \in B$  est identifié à un chemin de  $\mathbb{C}^n \setminus \bigcup \mathcal{A}$ , on notera  $\sigma^* \omega$  la 1-forme induite sur le segment  $[0, 1]$  par pullback.

Nous nous intéressons ici à la représentation obtenue pour des valeurs génériques de  $h$ . Une approche alternative, essentiellement équivalente pour ce qui nous intéresse ici et que nous choisissons, consiste à considérer  $h$  comme un paramètre formel, c'est-à-dire à considérer la représentation  $R : B \rightarrow GL_N(K)$  que l'on obtient par monodromie pour  $K = \mathbb{C}((h))$  — on a en réalité  $R(\sigma) \in GL_N(\mathbb{C}[[h]])$  pour tout  $\sigma \in B$ . Rappelons que l'endomorphisme  $R(\sigma)$  est conjugué à  $\rho(s) \exp(i\pi h \rho(t_s))$  si  $\sigma$  est un générateur d'Artin et  $s = \pi(\sigma)$ . D'autre part, pour  $m$  générique,  $R$  est irréductible ainsi que sa restriction à  $P$  parce que  $\rho$  est irréductible (prop. 3) : cela découle des arguments de [Ma5], prop. 7 ou 8. Enfin, rappelons que la classe d'isomorphisme de  $R$  ne dépend pas du point base choisi.

**3.1. Factorisation par les algèbres de Hecke cubiques.** Soient  $a, b, c \in K$ . On note  $H_{a,b,c}(W)$  le quotient de  $KB$  par les relations  $(\sigma_i - a)(\sigma_i - b)(\sigma_i - c) = 0$  pour tout  $i$  ou



encore, ce qui est équivalent en type ADE, par la relation  $(\sigma_1 - a)(\sigma_1 - b)(\sigma_1 - c) = 0$ . Il est connu que, pour  $W$  de type  $A_2$  et  $a, b, c$  tels que les inéquations de semi-simplicité  $a \neq 0, a \neq b, a^2 - ab + b^2 \neq 0$  et leurs permutés par l'action naturelle de  $\mathfrak{S}_3$  sur  $a, b, c$  soient satisfaites, ce quotient est de dimension finie et est isomorphe à l'algèbre de groupe sur  $K$  d'un groupe de réflexions complexes de cardinal 24, numéroté  $G_4$  dans la classification de Shephard et Todd. On renvoie à [Ma1, BM] pour ce résultat.

En particulier, le quotient  $H_{a,b,c} = H_{a,b,c}(A_2)$  est semi-simple et ses représentations irréductibles se composent de trois représentations de dimension 1, notées  $S_x$  et définies par  $\sigma_i \mapsto x$  pour  $x \in \{a, b, c\}$ , trois de dimension 2, notées  $U_{x,y} = U_{\{x,y\}}$  pour  $\{x, y\} \subset \{a, b, c\}$  de cardinal 2 et caractérisées par  $Sp(\sigma_i) = \{x, y\}$ , et une représentation de dimension 3 notée  $Y$ . Dans  $Y$  le spectre de  $\sigma_i$  est  $\{a, b, c\}$ . Ainsi les représentations irréductibles de  $H_{a,b,c}$  sont caractérisées par le spectre de  $\sigma_1$  si  $\#\{a, b, c\} = 3$ . Remarquons d'autre part que l'élément central  $(\sigma_1\sigma_2)^3$  agit sur  $S_x$  par  $x^6$ , sur  $U_{x,y}$  par  $-x^3y^3$  et sur  $Y$  par  $a^2b^2c^2$ .

Notons  $\rho$  la représentation de Krammer infinitésimale associée à un groupe de Coxeter  $W$  de type ADE et  $R$  la représentation de monodromie associée. Soit  $\sigma = \sigma_1, s = \pi(\sigma) \in W$  et  $t = t_s$ . L'endomorphisme  $R(\sigma)$  est semi-simple et conjugué à  $\rho(s)\exp(\lambda h\rho(t))$  avec  $\lambda = i\pi$ , donc a pour spectre  $q, -q^{-1}, q^m$  avec  $q = \exp(\lambda h)$ . On en déduit que cette représentation se factorise par  $H_{q,-q^{-1},q^m}(W)$ . Remarquons d'autre part que, si  $W$  est de type  $A_2$ , les valeurs  $q, -q^{-1}, q^m$  satisfont les inéquations de semi-simplicité pour  $m \neq 1$ .

**3.2. Factorisation par les algèbres de Birman-Wenzl-Murakami.** Dans [BW], Birman et Wenzl ont introduit un quotient de dimension finie de  $H_{a,b,c}(W)$  pour  $W$  de type  $A_n$ . Cette construction a été généralisée par Cohen, Gijsbers et Wales dans [CGW]. On peut la définir comme suit :

**Définition 2.** Soit  $W$  un groupe de Coxeter de type ADE. On définit l'algèbre  $BMW(W)$  sur  $\mathbb{Q}(\alpha, l)$  comme le quotient de l'algèbre de groupe de  $W$  par les relations

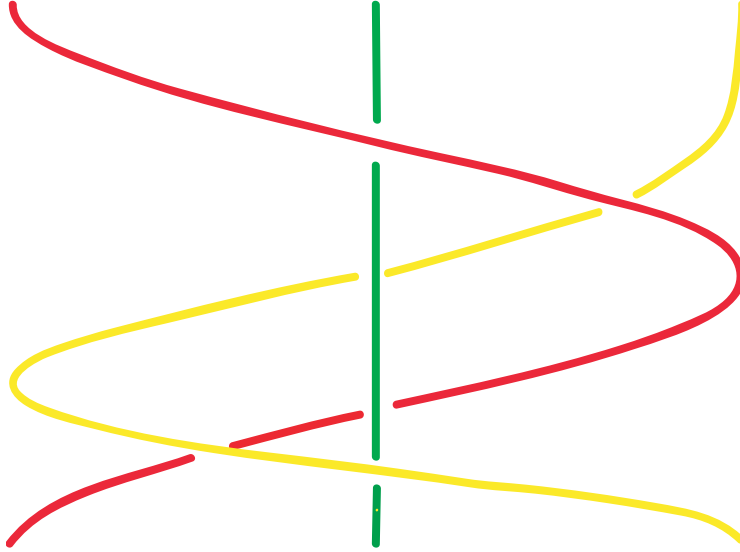
$$(\sigma_1^2 + \alpha\sigma_1 - 1)(\sigma_1 - l^{-1}) = 0, e_i\sigma_j e_i = l e_i$$

si  $s_i$  et  $s_j$  sont reliées, et où  $e_i = (l/\alpha)(\sigma_i^2 + \alpha\sigma_i - 1)$ .

Après extension des scalaires, cette algèbre est un quotient de  $H_{q,-q^{-1},q^m}(W)$  pour  $\alpha = q^{-1} - q$  et  $l = q^{-m}$ . En particulier, si  $W = A_2$  c'est un quotient, semi-simple, de  $H_{q,-q^{-1},q^m}$ , dont les représentations irréductibles sont  $S_q, S_{-q^{-1}}, U_{q,-q^{-1}}$  et  $Y$ .

Soient maintenant  $\sigma_i, \sigma_j$  tels que  $s_i$  soit reliée à  $s_j$  dans le diagramme de Coxeter de  $W$ , et  $\tilde{B}$  le sous-groupe de  $B$  engendré par  $\sigma_i, \sigma_j$ . Soit  $s_0 = s_i s_j s_i$ . Le groupe  $\tilde{B}$  est un groupe d'Artin de type  $A_2$ , et la restriction de  $R$  à  $\tilde{B}$  est notée  $\tilde{R}$ . Pour vérifier que  $R$  se factorise par  $BMW(W)$  il suffit donc de vérifier que  $\tilde{R}$  se factorise par  $BMW(A_2)$ , c'est-à-dire que cette représentation semi-simple n'admet que des composantes irréductibles de type  $S_q, S_{-q^{-1}}, U_{q,-q^{-1}}$  et  $Y$ , soit encore que l'élément central  $S_{ij} = (\sigma_i\sigma_j)^3$  n'admette pour valeurs propres que  $q^6, q^{-6}, 1$  ou  $q^{2m}$ .

Notons  $H_i, H_j$  les hyperplans de réflexion et  $u_i, u_j$  des vecteurs normaux de ces hyperplans correspondant à  $\sigma_i$  et  $\sigma_j$ . Soit  $X = H_i \cap H_j$ . Décomposons  $\mathbb{C}^n = X \oplus \mathbb{C}u_i \oplus \mathbb{C}u_j$  et notons  $z_i$  resp.  $z_j$  la coordonnée correspondant à  $u_i$  resp.  $u_j$ . On choisit  $u_i, u_j$  de telle façon que l'hyperplan de réflexion  $H_0$  correspondant à  $s_0 = s_i s_j s_i$  soit défini par  $z_i = z_j$ . On note  $\alpha_H^*$  la restriction de  $\alpha_H$  à  $X$ . Soit  $\mathcal{A}' = \mathcal{A} \setminus \{H_0, H_i, H_j\}$ . On choisit  $x \in X \setminus \bigcup \mathcal{A}'$  et  $\epsilon > 0$  tel que

FIG. 1 – Le lacet  $S_{ij}$ 

$(x, a, b) \notin \bigcup \mathcal{A}$  dès que  $|a|, |b| \in ]0, 2\epsilon]$ . On note  $x_\epsilon = (x, \epsilon, 2\epsilon)$ , qui n'appartient donc à aucun des hyperplans.

Introduisons alors le lacet  $x_\epsilon(t) = (x, \epsilon \exp(2i\pi t), 2\epsilon \exp(2i\pi t))$  de base  $x_\epsilon$ . Sa classe est  $S_{ij}$ . Pour s'en assurer, on peut par exemple utiliser l'identification des triplets  $(a, b, c) \in \mathbb{C}^3$  tels que  $a, b \neq 0, a \neq b$  avec les triplets  $(x, y, z) \in \mathbb{C}^3$  tels que  $x \neq y, y \neq z, x \neq z$  en posant  $a = y - x, b = z - x, c = x + y + z$ . Alors les triplets  $(\epsilon \exp(2i\pi t), 2\epsilon \exp(2i\pi t), 0)$  correspondent aux triplets  $(-\epsilon \exp(2i\pi t), 0, \epsilon \exp(2i\pi t))$  qui forment un lacet de base  $(-\epsilon, 0, \epsilon)$ . Il est homotope au lacet  $\gamma_\epsilon(t) = (-\epsilon \exp(2i\pi t), 0, \epsilon \exp(2i\pi t^2))$  par l'homotopie  $(\alpha, t) \mapsto (-\epsilon \exp(2i\pi t), 0, \epsilon \exp(2i\pi(\alpha t + (1 - \alpha)t^2)))$ . On peut représenter ce dernier comme une tresse en le projetant sur l'axe réel (cf. figure 1), ce qui permet de l'identifier à  $(\sigma_i \sigma_j)^3 = (\sigma_j \sigma_i)^3$ .

Pour simplifier les notations, on note  $t_k = t_{s_k}$  pour  $k \in \{0, i, j\}$ . On a alors

$$S_{ij}^* \omega = h \sum_{H \in \mathcal{A}'} \rho(t_H) \frac{O(\epsilon)}{\alpha_H^*(x) + O(\epsilon)} + 2i\pi \rho(t_0 + t_i + t_j) dt \rightarrow 2i\pi \rho(t_0 + t_i + t_j) dt$$

quand  $\epsilon \rightarrow 0$ . Comme, lorsque  $\epsilon$  diminue, la classe de conjugaison de  $R(S_{ij})$  ne varie pas, et que cette dernière est fermée car  $R(S_{ij})$  est semi-simple, on en déduit que  $R(S_{ij})$  est conjugué à  $\exp(2i\pi h(t_0 + t_i + t_j))$ . En particulier, il suffit de vérifier que  $\rho(t_0 + t_i + t_j)$  n'a pour valeurs propres que 3, -3, 0 ou  $m$ .

Pour ce faire, on décompose  $V$  en somme de sous-espaces stables sous l'action de  $T' = t_0 + t_i + t_j$ . Notons d'abord que  $\langle v_{s_i}, v_{s_j}, v_{s_0} \rangle$  est stable et que  $T' = t_0 + t_i + t_j$  agit sur ce sous-espace par le scalaire  $m$ . On note  $w_{s_k} = v_{s_k}$  pour  $k \in \{0, i, j\}$ .

Soit  $\mathcal{R}' = \mathcal{R} \setminus \{s_i, s_j, s_0\}$ . Si  $u \in \mathcal{R}'$  commute à chacune des trois réflexions  $\{s_i, s_j, s_0\}$ ,  $\mathbb{C}v_u$  est stable et  $T'$  agit sur cette droite par la valeur 3. On note dans ce cas  $w_u = v_u$ .

Si au contraire  $u \in \mathcal{R}'$  commute à au moins l'une d'entre elles, par exemple  $s_0$ , mais pas à toutes, on montre facilement qu'elle ne commute à aucune des deux autres. De même,  $s_i \bullet u$

ne commute alors qu'à  $s_j$  et  $s_j \bullet u$  ne commute qu'à  $s_i$ . On note alors

$$w_u = v_u + \frac{2}{m(m-3)}v_{s_0} + \frac{m-1}{m(m-3)}(v_{s_i} + v_{s_j})$$

et  $w_{s_i \bullet u} = s_i \bullet w_u$ ,  $w_{s_j \bullet u} = s_j \bullet w_u$ . On vérifie que  $t_s \cdot w_x = w_{s \bullet x}$  pour  $s \in \{s_i, s_j, s_0\}$  et  $x \in \{u, s_i \bullet u, s_j \bullet u\}$ . En particulier  $T'$  admet les valeurs propres 0 et 3 sur  $\langle w_u, w_{s_i \bullet u}, w_{s_j \bullet u} \rangle = \langle v_u, v_{s_i \bullet u}, v_{s_j \bullet u} \rangle$ .

On a alors défini  $w_u$  pour toute réflexion  $u \in \mathcal{R}'$  commutant à une seule des réflexions  $s_0, s_i, s_j$ . On vérifie, facilement en type  $A_n, D_n$ , et au cas par cas en types  $E$ , que la dernière possibilité ( $u \in \mathcal{R}'$  ne commutant à aucune des réflexions  $s_i, s_j, s_0$ ) ne peut se produire en type ADE. Le fait que les  $w_u, u \in \mathcal{R}$  forment une base de  $V$  conclut la preuve de la

**Proposition 7.** *La représentation  $R$  se factorise par  $BMW(W)$  pour  $m$  générique.*

**3.3. Annulation sur l'idéal  $I_2$ .** Dans [CGW] est introduit un idéal remarquable de l'algèbre  $BMW(W)$ , noté  $I_2$ , qui est engendré par les éléments  $e_i e_j$  pour  $s_i$  non reliée à  $s_j$ , c'est-à-dire si  $s_i$  et  $s_j$  commutent. Nous allons montrer que  $R$  s'annule sur  $I_2$ , c'est-à-dire  $R(e_i e_j) = 0$ .

Soient  $s_i$  et  $s_j$  non reliées. On note  $H_i, H_j$  les hyperplans de réflexion correspondants, et on peut décomposer  $\mathbb{C}^n = X \oplus \mathbb{C}u_i \oplus \mathbb{C}u_j$  avec  $X = H_i \cap H_j$ ,  $s_i$  resp.  $s_j$  agissant par  $-1$  sur  $u_i$  resp.  $u_j$ . On note  $z_k$  la coordonnée correspondant à  $u_k$  pour  $k \in \{i, j\}$ , et  $\alpha_H^*$  la restriction de  $\alpha_H$  à  $X$ . Il existe  $x \in X$  tel que  $\alpha_H^*(x) \neq 0$  pour tout  $H \in \mathcal{A}' = \mathcal{A} \setminus \{H_i, H_j\}$ . On note  $x_\epsilon = (x, \epsilon, \epsilon)$ . Il existe  $\epsilon_0 > 0$  tel que, pour tout  $\epsilon \in ]0, \epsilon_0[$  et pour tout  $H \in \mathcal{R}$  on ait  $\alpha_H(x_\epsilon) \neq 0$ , et même  $\alpha_H((x, u\epsilon, v\epsilon)) \neq 0$  pour tous  $u, v$  de module 1. Prenant un tel  $x_\epsilon$  pour point base, un chemin représentant  $\sigma_i$  (resp.  $\sigma_j$ ) est  $\sigma_{i,\epsilon} = (x, \epsilon \exp(2i\pi t), \epsilon)$  (resp.  $\sigma_{j,\epsilon} = (x, \epsilon, \epsilon \exp(2i\pi t))$ ). On note  $\tau_i = \tau_{H_i}$  avec  $\tau_H = \rho(t_H)$ . On a alors

$$\frac{1}{i\pi} \sigma_i^* \omega = h \left( \tau_i + \sum_{H \in \mathcal{A}'} \frac{O(\epsilon)}{\alpha_H^*(x) + O(\epsilon)} \tau_H \right) dt, \quad \frac{1}{i\pi} \sigma_j^* \omega = h \left( \tau_j + \sum_{H \in \mathcal{A}'} \frac{O(\epsilon)}{\alpha_H^*(x) + O(\epsilon)} \tau_H \right) dt$$

d'où  $\sigma_i^* \omega \rightarrow h i \pi \tau_i dt$  et  $\sigma_j^* \omega \rightarrow h i \pi \tau_j dt$  quand  $\epsilon \rightarrow 0$ .

En particulier, si  $R_\epsilon$  désigne la monodromie de  $\rho$  avec point base  $x_\epsilon$ ,  $R_\epsilon(\sigma_i) \rightarrow \tilde{\sigma}_i = \rho(s_i) \exp(i\pi h \tau_i)$  et  $R_\epsilon(\sigma_j) \rightarrow \tilde{\sigma}_j = \rho(s_j) \exp(i\pi h \tau_j)$  quand  $\epsilon \rightarrow 0$ . Notons maintenant  $E = e_i e_j$ . On a  $e_k^2 = \alpha e_k$  pour  $k \in \{i, j\}$  et  $e_i e_j = e_j e_i$ , donc  $E^2 = \alpha^2 E$ . Ainsi,  $R(E) = 0$  ssi  $tr(R(E)) = 0$ . Plus précisément, le spectre de  $E$  est inclus dans  $\{0, \alpha^2\}$ . Comme  $\alpha^2 \equiv -4\pi^2 h^2 \pmod{h^3}$  on a donc  $R(E) = 0$  ssi  $tr(R(E)) \equiv 0 \pmod{h^3}$ .

Remarquons que, puisque  $R$  se factorise par  $BMW(W)$ , on a nécessairement  $tr(R(E)) \equiv 0 \pmod{h^2}$ . D'autre part, les endomorphismes  $R_\epsilon(E)$  sont conjugués pour  $\epsilon \in ]0, \epsilon_0[$  donc  $tr(R_\epsilon(E))$  ne dépend pas de  $\epsilon$ . Il suffit alors de montrer que  $tr(R_\epsilon(E))$  modulo  $h^3$  tend vers 0 quand  $\epsilon \rightarrow 0$ , donc que  $\tilde{e}_i \tilde{e}_j \equiv 0 \pmod{h^3}$  avec  $\tilde{e}_k = (l/\alpha)(\tilde{\sigma}_k^2 + \alpha \tilde{\sigma}_k - 1)$  pour  $k \in \{i, j\}$ . Or on a

$$\tilde{e}_k = \rho \left( (s_k - t_k)(1 - (m - t_k)\tilde{h}) + \tilde{h}^2 X_k + O(\tilde{h}^3) \right)$$

avec

$$X_k = \frac{m^2}{2}(s_k - t_k) + m t_k (t_k - s_k) + \frac{t_k}{6}(-4t_k^2 + 3s_k t_k + 1), \quad \tilde{h} = i\pi h$$

Remarquons ensuite que, puisque  $s_i$  et  $s_j$  ne sont pas reliées,  $s_i - t_i$  et  $s_j - t_j$  commutent et leurs images par  $\rho$  sont, à un scalaire près et pour des valeurs génériques de  $m$ , des projecteurs orthogonaux sur des droites orthogonales pour  $(|)$ . On en déduit que le produit de ces images

est nul, ceci pour toute valeur de  $m$ . Ainsi,

$$\tilde{e}_i \tilde{e}_j \equiv \tilde{h}^2 \rho((s_i - t_i)X_j + X_i(s_j - t_j)) \pmod{h^3}.$$

et, notant  $x \sim y$  si  $\rho(x) = \rho(y)$ ,  $(s_i - t_i)X_j \sim (s_i - t_i)\frac{t_j}{6}(-4t_j^2 + 3s_j t_j + 1)$ . De plus,  $(s_i - t_i)t_j \sim (s_i - t_i)s_j$ , d'où  $(s_i - t_i)X_j \sim (s_i - t_i)\frac{s_j}{6}(-4s_j^2 + 3s_j s_j + 1) = (s_i - t_i)\frac{s_j}{6}(-4 + 3 + 1) = 0$  et  $\tilde{e}_i \tilde{e}_j \equiv 0 \pmod{h^3}$ . On a ainsi montré

**Proposition 8.** *La représentation  $R$  se factorise par  $BMW(W)/I_2$  pour  $m$  générique.*

**3.4. Identification à la représentation de Krammer.** Dans [CGW] la structure de  $BMW(W)/I_2$  est analysée. Il existe un sous-groupe parabolique  $\widetilde{W}$  de  $W$  telle que l'algèbre de Hecke  $\widetilde{H}$  de  $\widetilde{W}$  avec paramètres  $q, -q^{-1}$  détermine toutes les représentations irréductibles de  $BMW(W)/I_2$ . Plus précisément, à toute (classe de) représentation irréductible  $\theta$  de  $\widetilde{H}$  est associée une représentation irréductible  $\Gamma_\theta$  de  $BMW(W)/I_2$  de dimension  $(\#\mathcal{R}) \dim(\theta)$ , et cette correspondance  $\theta \rightarrow \Gamma_\theta$  entre classes de représentations irréductibles des deux algèbres est bijective.

A tous  $u \in \mathcal{R}$  et  $i \in \{1, \dots, n\}$  tel que  $u \neq s_i$  et  $us_i = s_i u$  les auteurs de [CGW] associent un élément  $h_{u,i} \in \widetilde{H}$  tel que la trace de  $\Gamma_\theta(\sigma_i)$  soit

$$q^m + \sum_{\substack{u \neq s_i \\ us_i = s_i u}} \theta(h_{u,i}) + \frac{q - q^{-1}}{2} c'(W).$$

La représentation de Krammer généralisée est alors  $\Gamma_\theta$  avec  $\theta$  entièrement déterminé par  $\theta(h_{u,i}) = q$ . D'autre part, on a toujours  $(h_{u,i} - q)(h_{u,i} + q^{-1}) = 0$ , donc elle est caractérisée parmi les représentations  $\Gamma_\theta$  par le fait d'être de dimension  $\#\mathcal{R}$  et d'envoyer  $\sigma_1$  sur un élément de trace  $q^m + qc(W) + (q - q^{-1})\frac{c'(W)}{2}$ .

Comme, pour  $m$  générique,  $R$  est une représentation irréductible de  $BMW(W)/I_2$  de dimension  $\#\mathcal{R}$ , il suffit donc de montrer que  $tr(R(\sigma_1))$  a la valeur voulue. Comme  $R(\sigma_1)$  est conjugué à  $\tilde{\sigma} = \rho(s \exp(\lambda t_s))$ , il suffit de calculer la trace de  $\tilde{\sigma}$ .

On a  $V = \mathbb{C}v_s \oplus U \oplus U'$  avec  $U = \bigoplus_{\substack{u \neq s \\ us = su}} \mathbb{C}v_u$  et  $U' = \bigoplus_{us \neq su} \mathbb{C}v_u$ ; de plus  $\dim(U) = c(W)$ ,  $\tilde{\sigma}.v_s = q^m v_s$ ,  $\tilde{\sigma}.v_u = qv_u$  si  $u \neq s$  et  $us = su$ . D'autre part  $U'$  est somme directe de  $\frac{c'(W)}{2}$  plans stables pour l'action de  $s$  et  $t_s$ , engendrés par les familles de la forme  $(v_u, v_{u'})$  telles que  $\langle s, u, u' \rangle$  soit de type  $I_2(3)$ . Sur ces plans,  $s = t_s$  admet pour vecteurs propres  $v_u + v_{u'} + \frac{2}{m-1}v_s$ ,  $v_u - v_{u'}$  associés respectivement aux valeurs propres 1 et  $-1$ . Ainsi, la restriction de  $\tilde{\sigma}$  à un de ces plans a pour trace  $q - q^{-1}$ , et on en déduit que  $tr(R(\sigma_1))$  a la valeur voulue d'où le

**Théorème 2.** *La représentation  $R$  est équivalente à la représentation de Krammer généralisée de [CW] pour  $m$  générique.*

Remarquons que les conditions de généricité pour que ces représentations soit équivalentes, qui dépendent a priori de  $W$ , sont toujours vérifiées si  $m \notin \mathbb{Q}$ .

A tout groupe de Coxeter fini  $W$ , non nécessairement de type ADE, on peut associer un groupe d'Artin  $B$  et un groupe d'Artin pur  $P$ . De tels groupes d'Artin (purs) sont dits sphériques. La résiduelle nilpotence des groupes d'Artin purs était connue en types  $A_n$ ,  $B_n$ ,  $D_n$  et  $I_2(m)$ .

**Corollaire.** *Les groupes d'Artin purs de type sphérique sont résiduellement nilpotents.*

*Démonstration.* On peut supposer que  $W$  est un groupe de Coxeter irréductible. D'après [Cr], tout groupe d'Artin pur de type sphérique se plonge dans un groupe d'Artin pur de type ADE. On peut donc supposer que  $W$  est de type ADE. Notons  $U = \mathbb{C}[[h]]$ ,  $(x, y) = xyx^{-1}y^{-1}$  et  $C^1P = (P, P)$ ,  $C^{r+1}P = (P, C^rP)$  les termes de la suite centrale descendante de  $P$ . Il s'agit de montrer que leur intersection est triviale. Identifiant  $V$  à  $\mathbb{C}^N$ , on a  $R(P) \subset 1 + hM_N(U)$  donc  $R(C^rP) \subset 1 + h^{r+1}M_N(U)$  d'où

$$R\left(\bigcap_{r \geq 1} C^rP\right) = \{1\} \Rightarrow \bigcap_{r \geq 1} C^rP = \{1\}$$

par fidélité de  $R$ , au moins si les paramètres  $q$  et  $t$  de [CW] sont transcendants sur  $\mathbb{C}$  et algébriquement indépendants, ce qui est le cas dès que  $m \notin \mathbb{Q}$ .  $\square$

Remarquons que les modèles matriciels de la représentation de Krammer permettent également d'obtenir ce dernier résultat, en posant un peu artificiellement  $q = e^h$  et  $t = e^{mh}$  pour  $m \notin \mathbb{Q}$  dans les modèles de [CW] et en réduisant les formules modulo  $h$ . Nous renvoyons à [Ma7] où nous avons utilisé cette méthode.

#### 4. ENVELOPPE ALGÈBRIQUE, UNITARITÉ, ET APPLICATIONS EN THÉORIE DES GROUPES

**4.1. Enveloppe algébrique.** Le calcul de l'image de  $\rho$  nous permet de déterminer l'enveloppe algébrique des groupes d'Artin de type ADE dans la représentation de Krammer associée. Notons  $V_h = V \otimes K$ . Pour toute réflexion  $s$  de  $W$ , il existe un  $\sigma \in P$  tel que  $R(\sigma)$  est congru à  $\exp(2i\pi t_s)$  modulo  $h^2$  ( $\sigma$  est par exemple un lacet faisant un tour complet autour de l'hyperplan associé à  $s$ ). On déduit alors des arguments de [Ma5], prop. 24, que l'algèbre de Lie de l'enveloppe algébrique de  $R(B)$  contient l'image de  $\mathfrak{g}$  tensorisée par  $K$ . D'après le calcul de cette image (prop. 6), on en déduit

**Théorème 3.** *Soit  $K$  un corps de caractéristique 0, et  $R : B \rightarrow GL_N(K)$  la représentation de Krammer généralisée associée à une valeur générique de  $m$ . L'image  $R(B)$  est Zariski-dense dans  $GL_N(K)$ . Il en est de même des images des sous-groupes  $C_W^k$  engendrés par les éléments  $\sigma_1^{2k}, \dots, \sigma_n^{2k}$  où les  $\sigma_i$  désignent les générateurs d'Artin de  $B$  et  $k \geq 1$ . En type  $A_{n-1}$ , il en est de même de l'image des sous-groupes libres  $F_n^k$  engendré par les éléments  $\xi_{in}^k$  pour  $1 \leq i < n$ , où  $\xi_{ij} = \sigma_{j-1} \dots \sigma_{i+1} \sigma_i^{-1} \sigma_{i+1}^{-1} \dots \sigma_{j-1}^{-1}$  pour  $i < j$ .*

La dernière partie du théorème, particulière au type  $A_{n-1}$ , découle du fait que l'application  $\mathfrak{g}_{\mathcal{S}} \rightarrow \mathfrak{gl}(V)$  pour  $\mathcal{S} = \{(1 \ n), \dots, (n-1 \ n)\}$  est surjective. La démonstration est similaire à celle de la proposition 6. L'hypothèse non vérifiée est que  $\mathcal{S} \cap \mathfrak{S}_{n-1}$  est vide. Pour résoudre ce problème, on remarque que l'image de  $\mathfrak{g}_{\mathcal{S}}$  est conjuguée à l'image de  $\mathfrak{g}_{\mathcal{S}'}$  avec  $\mathcal{S}' = \{(1 \ n-1), \dots, (n-2 \ n-1), (n-1 \ n)\}$  par l'image de la transposition  $(n-1 \ n)$ . On montre alors que l'image de  $\mathfrak{g}_{\mathcal{S}'}$  est  $\mathfrak{gl}(V)$  par le même argument puisque  $\mathcal{S}' \cap \mathfrak{S}_{n-1}$  engendre  $\mathfrak{S}_{n-1}$  et il en est donc de même de l'image de  $\mathfrak{g}_{\mathcal{S}}$ .

**4.2. Unitarité.** Nous discutons ici du lien entre l'unitarité infinitésimale de  $\rho$  et l'éventuelle unitarisabilité de  $R$ . Soit  $k$  un corps de caractéristique 0 et supposons  $\mathfrak{g}$ ,  $\mathfrak{B}$  et  $\rho$  définies sur  $k$ . Les algèbres  $\mathfrak{g}$  et  $\mathfrak{B}$  sont naturellement graduées, par  $\deg t_s = 1$  pour tout  $s \in \mathcal{R}$ , et  $\deg(w) = 0$  si  $w \in W$ . On note  $\widehat{\mathfrak{B}}$  et  $\widehat{\mathfrak{g}}$  les complétions de  $\mathfrak{B}$  et  $\mathfrak{g}$  par rapport à cette graduation. On a  $\exp \widehat{\mathfrak{g}} \subset \widehat{\mathfrak{B}}$ . Pour déduire de  $\rho$  une représentation de  $B$  sur  $K = k((h))$  il suffit d'avoir un morphisme  $\widetilde{\Phi} : B \rightarrow \widehat{\mathfrak{B}}$ . En effet, notant  $\tilde{\rho}$  la représentation de  $\widehat{\mathfrak{B}}$  dans

$\text{End}(V_h)$  définie par  $\tilde{\rho}(w) = \rho(w)$  pour  $w \in W$  et  $\tilde{\rho}(t_s) = h\rho(t_s)$ ,  $\widehat{\Phi}(\rho) = \tilde{\rho} \circ \tilde{\Phi}$  définit une représentation de  $B$  dans  $GL(V_h)$ . Un tel morphisme est donné pour  $\mathbb{k} = \mathbb{C}$  par monodromie, et permet d'obtenir la représentation de Krammer  $R$ .

Supposons que l'on ait un morphisme  $\tilde{\Phi} : B \rightarrow \tilde{\mathfrak{B}}$  satisfaisant la condition suivante

$$(1) \quad \exists \Phi_1, \dots, \Phi_n \in \exp \widehat{\mathfrak{g}} \mid \tilde{\Phi}(\sigma_i) = \Phi_i s_i \exp(t_{s_i}) \Phi_i^{-1}$$

Alors la représentation  $\widehat{\Phi}(\rho)$  correspondante de  $B$  prend ses valeurs dans un le groupe unitaire formel  $U_N^\varepsilon(K)$  correspondant à l'automorphisme involutif  $\varepsilon : f(h) \mapsto f(-h)$  de  $K$  et à la forme  $(\mid)$ . Si  $\mathbb{k} \subset \mathbb{R}$ , on a montré dans [Ma5] que, après torsion des coefficients de la représentation par un automorphisme convenable de  $K$  de manière à faire converger les coefficients pour  $h \in i\mathbb{R}$  suffisamment proche de 0, on pouvait en déduire des représentations unitaires  $\tilde{R}$  de  $B$ , pourvu que  $(\mid)$  soit définie positive. On a montré ici que tel était le cas pour  $m > \#\mathcal{R} - c(W)$ .

L'existence de tels morphismes satisfaisant (1) est établie si  $B$  est « fiber-type » au sens de Falk et Randell, c'est-à-dire si  $W$  est de type  $A_n$ ,  $B_n$  ou diédral. C'est en effet une conséquence des travaux de Drinfeld [Dr] en type  $A_n$ , Enriquez [En] en type  $B_n$  et de [Ma4] pour les groupes diédraux. Malheureusement ce résultat reste pour l'instant à l'état de conjecture en types  $D_n$  et  $E_6, E_7, E_8$ .

En type  $A_n$ , cela nous permet en tous cas de retrouver rapidement un résultat de R. Budney, qu'il démontre dans [Bu] en construisant une forme quadratique explicite.

**Proposition 9.** *La représentation de Krammer (en type  $A_{n-1}$ ) est unitarisable pour  $|q| = 1$  proche de 1 et  $m > \#\mathcal{R} - c(W) = 2n - 3$ .*

*Démonstration.* Nous utilisons les notations de [Ma5]. Soit  $\Phi \in \text{Ass}\mathfrak{oc}_1(\mathbb{Q})$  un associateur rationnel et  $\tilde{\Phi}$  le morphisme de Drinfeld associé. On démontre facilement que  $\widehat{\Phi}(\rho)$  se factorise par  $BMW(A_n)$  : cette représentation irréductible se factorise par l'algèbre de Birman-Wenzl-Murakami soit pour les mêmes raisons que la représentation  $R$ , soit en utilisant les arguments de [Ma2] prop. 4 ; l'identification avec la représentation de Krammer découle alors du fait que  $\widehat{\Phi}(\rho)(\delta_r) = \exp(2h\rho(Y_r))$ , avec  $Y_r = t_{1r} + \dots + t_{r-1,r}$ ,  $\delta_r = \sigma_{r-1} \dots \sigma_2 \sigma_1^2 \sigma_2 \dots \sigma_{r-1}$ , et que le spectre de l'action des  $\delta_r$  permet d'identifier la représentation irréductible de l'algèbre de Birman-Wenzl-Murakami considérée (cf. [Ma2], section 9). Après torsion de la représentation par un automorphisme adéquat du corps des coefficients et spécialisation en  $h \in i\mathbb{R}$  suffisamment proche de 0 on en déduit des représentations unitaires  $\tilde{R}_h$  (cf. [Ma5], appendice A). Pour des valeurs génériques de  $h$ , ces représentations sont bien isomorphes aux représentations de Krammer au moins si l'on a pris soin de choisir l'automorphisme de telle façon que l'image des générateurs d'Artin soit suffisamment proche, modulo  $h$ , de leur image dans la représentation originelle.  $\square$

**4.3. Applications en théorie des groupes.** Nous appliquons ici le résultat de Zariski-densité de la représentation de Krammer généralisée au problème de la décomposition en produit direct des groupes d'Artin et de ses sous-groupes remarquables. Le lemme clé est le suivant.

**Lemme 2.** *Soit  $G$  un groupe, et  $V$  une représentation semi-simple fidèle de  $G$  sur un corps  $K$  de caractéristique 0 telle que  $V \otimes V$  ait au plus trois composantes irréductibles. Si  $G$  est produit direct  $G_1 \times G_2$  de deux de ses sous-groupes, alors  $G_1 \subset Z(G)$  ou  $G_2 \subset Z(G)$ .*

*Démonstration.* Notons tout d'abord que  $V$  est nécessairement irréductible, car sinon  $V \otimes V$  aurait au moins quatre composants. Supposons  $G \simeq G_1 \times G_2$ . Comme  $V$  est irréductible,  $V \simeq V_1 \otimes V_2$ , avec  $V_i$  une représentation irréductible de  $G_i$ . Comme  $V$  est fidèle, il en est de même des  $V_i$ . Or

$$\begin{aligned} V \otimes V &\simeq (V_1 \otimes V_2) \otimes (V_1 \otimes V_2) \\ &\simeq (V_1 \otimes V_1) \otimes (V_2 \otimes V_2) \\ &\simeq (S^2V_1 \oplus \Lambda^2V_1) \otimes (S^2V_2 \oplus \Lambda^2V_2) \\ &\simeq (S^2V_1 \otimes S^2V_2) \oplus (S^2V_1 \otimes \Lambda^2V_2) \oplus (\Lambda^2V_1 \otimes S^2V_2) \oplus (\Lambda^2V_1 \otimes \Lambda^2V_2) \end{aligned}$$

Donc, comme les dimensions des  $V_i$  sont au moins 1, on en déduit  $\Lambda^2V_2 = 0$  ou  $\Lambda^2V_1 = 0$ , donc  $V_2$  ou  $V_1$  est de dimension 1. Comme les  $V_i$  sont fidèles, on en déduit que  $G_1$  ou  $G_2$  est commutatif, d'où la conclusion.  $\square$

On en déduit

**Proposition 10.** *Soit  $K$  un corps de caractéristique 0, et  $R : G \rightarrow GL_N(K)$  une représentation fidèle de  $G$  telle que  $R(G)$  soit Zariski-dense dans  $GL_N(K)$ . Si  $\Gamma$  est un sous-groupe d'indice fini de  $G$  et  $\Gamma \simeq \Gamma_1 \times \Gamma_2$ , alors  $\Gamma_1$  ou  $\Gamma_2$  est commutatif.*

*Démonstration.* Soit  $V = K^N$ . Puisque l'adhérence de Zariski  $\overline{R(G)}$  de  $R(G)$  est irréductible en tant que variété algébrique, que  $\Gamma$  est d'indice fini dans  $G$  et que  $R$  est fidèle, on a  $\overline{R(\Gamma)} = \overline{R(G)} = GL_N(K)$ . Ainsi,  $V$  et les deux composantes  $S^2V$  et  $\Lambda^2V$  de  $V \otimes V$  sont irréductibles sous l'action de  $\Gamma$ . D'après le lemme précédent on en déduit la conclusion.  $\square$

Pour simplifier les énoncés, une décomposition en produit direct  $\Gamma_1 \times \Gamma_2$  d'un groupe  $\Gamma$  sera dite *centrale* si  $\Gamma_1$  ou  $\Gamma_2$  est commutatif (le facteur correspondant est alors inclus dans le centre de  $\Gamma$ ).

Des conséquences immédiates du théorème 3 et de la proposition précédente sont les suivantes.

**Corollaire.** *Les sous-groupes d'indice fini des groupes d'Artin de type ADE n'admettent pas de décomposition non centrale.*

Pour le groupe de tresses usuel, correspondant à  $W$  de type  $A_{n-1}$ , on note  $\sigma_1, \dots, \sigma_{n-1}$  les générateurs d'Artin, et on rappelle que  $\xi_{ij} = \sigma_{j-1} \dots \sigma_{i+1} \sigma_i^2 \sigma_{i+1}^{-1} \dots \sigma_{j-1}^{-1}$  pour  $i < j$  désignent les générateurs usuels du groupe des tresses pures.

**Corollaire.** *Soit  $G$  un sous-groupe d'un groupe d'Artin de type  $A_{n-1}$  contenant l'un des sous-groupes  $F_n^k = \langle \xi_{1n}^k, \dots, \xi_{n-1,n}^k \rangle$  ou  $C_n^k = \langle \sigma_1^{2k}, \dots, \sigma_{n-1}^{2k} \rangle$ . Les sous-groupes d'indice fini de  $G$  n'admettent pas de décomposition non centrale en produit direct.*

En remarquant que le groupe d'Artin de type  $B_{n-1}$  s'identifie au sous-groupe du groupe de tresses à  $n$  brins engendré par  $\sigma_1^2, \sigma_2, \dots, \sigma_{n-1}$  et que ce groupe contient  $C_n^1$  on en déduit également

**Corollaire.** *Les sous-groupes d'indice fini des groupes d'Artin de type B n'admettent pas de décomposition non centrale.*

5. ETUDE DU TYPE  $A_{n-1}$ 

**5.1. Généralités.** Dans le cas où  $W \simeq \mathfrak{S}_n$  est de type  $A_{n-1}$ , on choisit pour  $\widetilde{W} \subset W$  un parabolique naturel de type  $A_{n-2}$ , isomorphe à  $\mathfrak{S}_{n-1}$ . On note  $\mathcal{T}_n = \mathfrak{g}$ , et  $\mathcal{T}_{n-1} = \widetilde{\mathfrak{g}}$  l'algèbre de Lie associée à  $\widetilde{W}$ .

La représentation  $V_n = V$  de  $\mathcal{T}_n$  a pour dimension  $n(n-1)/2$ . Notons  $v_{ij}$  et  $t_{ij}$  respectivement le vecteur de base et le générateur correspondant à la transposition  $(i\ j)$ . L'action est alors décrite par les formules

$$\begin{cases} t_{ij}.v_{jk} &= v_{ik} - v_{ij} \\ t_{ij}.v_{kl} &= v_{kl} \\ t_{ij}.v_{ij} &= mv_{ij} \end{cases}$$

où  $i, j, k, l$  correspondent à des indices distincts. On note  $V_n$  l'espace vectoriel sous-jacent, engendré par les  $v_{ij}$ , et  $\mathcal{T}_n$  l'algèbre de Lie des tresses infinitésimales pures, engendrée par les  $t_{ij}$ . On note  $T_n = \sum t_{ij}$ , qui agit par  $m + c(W)$  sur  $V_n$ , et on plonge de façon naturelle  $\mathcal{T}_{n-1}$  dans  $\mathcal{T}_n$ .

**5.2. Restriction à  $\mathcal{T}_{n-1}$ .** Le  $\mathcal{T}_{n-1}$ -module  $V_n$  admet pour sous-espace stable le sous-espace engendré par les  $v_{ij}$  pour  $i, j < n$ . En tant que  $\mathcal{T}_{n-1}$ -module, il est naturellement isomorphe à  $V_{n-1}$ .

Notons  $T' = T_{n-1}$ , et, pour  $1 \leq k \leq n-1$ ,

$$v'_k = \sum_{\substack{i \neq k \\ i \leq n-1}} v_{ik}, \quad w_{kn}^0 = v_{kn} + \frac{1}{m-n+4}v'_k, \quad w^0 = \sum_{i \leq n-1} w_{in}^0, \quad \check{v} = \sum_{i, j \leq n-1} v_{ij}.$$

On introduit alors les sous-espaces suivants

| Sous - espaces |  | Dimension       |
|----------------|--|-----------------|
| $V_{n-1}$      | $= \langle v_{ij} \mid 1 \leq i, j \leq n-1 \rangle$               | $\#\mathcal{R}$ |
| $U_{n-1}$      | $= \langle w_{kn}^0 - w_{k+1, n}^0 \mid 1 \leq k \leq n-2 \rangle$ | $n-2$           |
| $S_{n-1}$      | $= \langle w^0 + \frac{2(n-1)}{(m-n+4)(m-2n+5)}\check{v} \rangle$  | 1               |

Chacun de ces sous-espaces est stable pour l'action de  $\mathcal{T}_{n-1}$ , et on a  $V_n = V_{n-1} \oplus U_{n-1} \oplus S_{n-1}$ . Une base commode de  $U_{n-1} \oplus S_{n-1}$  est donnée par les vecteurs  $w_{kn}^1 = w_{kn}^0 + \frac{2}{(m-n+4)(m-2n+5)}\check{v}$  pour  $1 \leq k \leq n-1$ . Dans cette base, on a  $t_{ij}.w_{kn}^1 = w_{kn}^1$  si  $k \notin \{i, j\}$ ,  $t_{ik}.w_{kn}^1 = w_{in}^1$ . On en déduit que  $U_{n-1} \oplus S_{n-1}$  s'identifie à la représentation de Burau (non réduite) infinitésimale de [Ma2, Ma3].

**5.3. Forme quadratique.** On suppose  $n \geq 3$ . On a  $(v_{ij}|v_{ij}) = m-1$ ,  $(v_{ij}|v_{jk}) = -1$  si  $\#\{i, j, k\} = 3$ ,  $(v_{ij}|v_{kl}) = 0$  si  $\#\{i, j, k, l\} = 4$ . Soient  $1 \leq i, j, k \leq n-1$  et  $i \neq j$ . On a

$$(v_{ij}|v'_k) = \begin{cases} m-n+2 & \text{si } k \in \{i, j\} \\ -2 & \text{si } k \notin \{i, j\} \end{cases} \quad (v_{ij}|v_{kn}) = \begin{cases} -1 & \text{si } k \in \{i, j\} \\ 0 & \text{si } k \notin \{i, j\} \end{cases} \quad (v_{ij}|\check{v}) = m-2n+5$$

On en déduit

$$(w_{kn}^0|v_{ij}) = \frac{-2}{m-n+4}, \quad (w_{kn}^0|\check{v}) = \frac{-(n-1)(n-2)}{m-n+4}, \quad (\check{v}|\check{v}) = (m-2n+5)\frac{(n-1)(n-2)}{2}$$



et en particulier que le sous-espace  $V_{n-1}$  est orthogonal à  $U_{n-1} \oplus S_{n-1}$ . D'autre part, si  $1 \leq k \leq n-1$ ,

|            | $(v_{kn} v_{ln})$ | $(v_{kn} v'_l)$ | $(v'_k v'_l)$  |
|------------|-------------------|-----------------|----------------|
| $k = l$    | $m-1$             | $2-n$           | $(n-2)(m-n+2)$ |
| $k \neq l$ | $-1$              | $-1$            | $m-3n+8$       |

On en déduit  $(w_{kn}^1|w_{ln}^1) = \alpha$  si  $k = l$ ,  $\beta$  si  $k \neq l$ , avec

$$\alpha = \frac{(m^2 + (5-2n)m - 2)(m-n+3)}{(m-2n+5)(m-n+4)}, \beta = \frac{-(m-2n+7)(m-n+3)}{(m-2n+5)(m-n+4)}$$

Ainsi la forme quadratique  $Q_n$  sur  $V_n$  est somme directe de  $Q_{n-1}$  et d'une forme quadratique  $\delta_{n-1}$ , que l'on peut définir pour  $m \notin \{n-4, 2n-5\}$ , de discriminant  $(\alpha - \beta)^{n-2}(\alpha + (n-2)\beta)$  soit

$$\frac{(m+1)^{n-2}(m-n+3)^{n-1}(m-2n+3)}{(m-n+4)^{n-2}(m-2n+5)}$$

Comme  $Q_n = Q_{n-1} \oplus \delta_{n-1}$ , et que  $Q_2$  est la forme quadratique sur la droite engendrée par  $v_{12}$  de discriminant  $m-1$ , on en déduit par une récurrence facile

**Proposition 11.** *Pour  $W$  de type  $A_{n-1}$  avec  $n \geq 3$ , le discriminant de la forme quadratique  $(|)$  est*

$$(m+1)^{\frac{n(n-3)}{2}}(m-n+3)^{n-1}(m-2n+3)$$

et cette forme quadratique est définie positive ssi  $m > 2n-3$ .

La condition de définie positivité provient de la remarque générale sur  $(|)$  lors de sa définition.

## 6. ETUDE DU TYPE $D_n$

**6.1. Généralités.** On suppose  $n \geq 4$ , et que  $W$  est de type  $D_n$ . Notons  $(i j)$  et  $(i j)'$  les réflexions respectivement définies par

$$\begin{aligned} (i j) & : (z_1, \dots, z_i, \dots, z_j, \dots, z_n) \mapsto (z_1, \dots, z_j, \dots, z_i, \dots, z_n) \\ (i j)' & : (z_1, \dots, z_i, \dots, z_j, \dots, z_n) \mapsto (z_1, \dots, -z_j, \dots, -z_i, \dots, z_n) \end{aligned}$$

$v_{ij}$  et  $v'_{ij}$ ,  $t_{ij}$ ,  $t'_{ij}$  les vecteurs de base et les générateurs correspondant respectivement à  $(i j)$  et  $(i j)'$ . L'action est alors décrite par les formules

$$\left\{ \begin{array}{l} t_{ij}.v_{kl} = v_{kl} \\ t_{ij}.v_{jk} = v_{ik} - v_{ij} \\ t_{ij}.v_{ij} = mv_{ij} \\ t_{ij}.v'_{kl} = v'_{kl} \\ t_{ij}.v'_{jk} = v'_{ik} - v_{ij} \\ t_{ij}.v'_{ij} = v'_{ij} \end{array} \right. \left\{ \begin{array}{l} t'_{ij}.v_{kl} = v_{kl} \\ t'_{ij}.v_{jk} = v'_{ik} - v'_{ij} \\ t'_{ij}.v_{ij} = v_{ij} \\ t'_{ij}.v'_{kl} = v'_{kl} \\ t'_{ij}.v'_{jk} = v_{ik} - v'_{ij} \\ t'_{ij}.v'_{ij} = mv'_{ij} \end{array} \right.$$

où  $i, j, k, l$  désignent des indices distincts. On note  $V_n = V$  l'espace vectoriel sous-jacent engendré par les  $v_{ij}$  et  $v'_{ij}$ , et  $\mathcal{T}_n^D = \mathfrak{g}$  est engendrée par les  $t_{ij}$  et  $t'_{ij}$ . On considère  $\mathcal{T}_{n-1}^D \subset \mathcal{T}_n^D$ , correspondant au sous-groupe parabolique maximal  $\widetilde{W}$  engendré les  $(i j)$ ,  $(i j)'$  pour  $1 \leq i, j \leq n-1$ , et  $V_{n-1} \subset V_n$  la représentation associée.

6.2. **Restriction à  $\mathcal{T}_{n-1}^D$ .** On définit, pour tout  $1 \leq k \leq n-1$ ,

$$u_k = \sum_{\substack{i \leq n-1 \\ i \neq k}} v_{ik} + v'_{ik}, u = \sum_{\{r,s\} \subset [1,n-1]} v_{rs} + v'_{rs}, w_k = v'_{kn} - v_{kn}$$

et  $q_k = (4n - m - 11)(2n - m - 9)(v_{kn} + v'_{kn}) - 2(4n - m - 11)u_k + 8u$ . Alors

$$\begin{cases} t_{ij} \cdot q_k = t'_{ij} \cdot q_k = q_k & \begin{cases} t_{ij} \cdot w_k = w_k, & t'_{ij} \cdot w_k = w_k \\ t_{ij} \cdot q_j = t'_{ij} \cdot q_j = q_i & \begin{cases} t_{ij} \cdot w_j = w_i, & t'_{ij} \cdot w_j = -w_i \end{cases} \end{cases} \end{cases}$$

où  $i, j, k$  sont distincts et compris entre 1 et  $n-1$ . Si  $m \notin \{4n-11, 2n-9\}$ , on a une décomposition en somme directe de  $\mathcal{T}_{n-1}^D$ -modules, irréductibles pour  $m$  générique,  $V_n = V_{n-1} \oplus U_{n-1}^D \oplus U_{n-1}^A \oplus S_{n-1}$  avec

| Sous - espaces  | Dimension       |
|---|-----------------|
| $V_{n-1} = \langle v_{ij}, v'_{ij} \mid 1 \leq i, j \leq n-1 \rangle$ | $\#\mathcal{R}$ |
| $U_{n-1}^D = \langle w_k \mid 1 \leq k \leq n-1 \rangle$              | $n-1$           |
| $U_{n-1}^A = \langle q_k - q_{k+1} \mid 1 \leq k \leq n-2 \rangle$    | $n-2$           |
| $S_{n-1} = \langle q_1 + \dots + q_{n-1} \rangle$                     | 1               |

On remarque que l'espace  $U_{n-1}^A \oplus S$  est l'intersection des noyaux des  $t_{ij} - t'_{ij}$ , pour  $1 \leq i, j \leq n-1$ . D'autre part  $U_{n-1}^D$  est la représentation de Burau infinitésimale de type  $D_{n-1}$ , et  $U_{n-1}^A$  est la représentation de Burau infinitésimale de type  $A_{n-2}$ , étendue à  $\mathcal{T}_{n-1}^D$  par le morphisme d'algèbres de Lie  $\mathcal{T}_{n-1}^D \rightarrow \mathcal{T}_{n-1}$  défini par  $t_{ij}, t'_{ij} \mapsto t_{ij}$ .

6.3. **Forme quadratique.** La forme quadratique est définie par  $(v_{ij}|v_{ij}) = (v'_{ij}|v'_{ij}) = m-1$ ,  $(v_{ij}|v_{kl}) = (v_{ij}|v'_{kl}) = (v'_{ij}|v'_{kl}) = 0$ ,  $(v_{ij}|v'_{ij}) = 0$  et  $(v_{ij}|v_{jk}) = (v_{ij}|v'_{jk}) = (v'_{ij}|v'_{jk}) = -1$  si  $\#\{i, j, k, l\} = 4$ .

On constate facilement que  $(w_k|w_k) = 2(m-1)$  et  $(w_i|w_j) = 0$  si  $i \neq j$ . On en déduit que le discriminant de  $(|)$  sur  $U_{n-1}^D$  est  $2^{n-1}(m-1)^{n-1}$ . La restriction de  $(|)$  sur  $U_{n-1}^A \oplus S$  est donnée par  $(q_k|q_k) = \alpha$ ,  $(q_i|q_j) = \beta$  si  $i \neq j$ , avec

$$\begin{aligned} \alpha &= -2(m-2n+9)(4n+4nm-12m-3-m^2)(m-4n+11)(m-2n+7) \\ \beta &= -4(m-2n+9)(m-2n+7)(m-4n+15)(m-4n+11) \end{aligned}$$

donc son discriminant est  $(\alpha - \beta)^{n-2}(\alpha + (n-2)\beta)$ , avec

$$\begin{aligned} \alpha - \beta &= 2(m+3)(m-2n+7)(m-2n+9)(m-4n+11)^2 \\ \alpha + (n-2)\beta &= 2(m-4n+7)(m-2n+7)(m-4n+11)(m-2n+9)^2 \end{aligned}$$

On en déduit comme pour le type A, par une récurrence facile, que

**Proposition 12.** *En type  $D_n$ ,  $n \geq 3$ , le discriminant de la forme quadratique  $(|)$  vaut*

$$(m-4n+7)(m-1)^{\frac{n(n-1)}{2}}(m+3)^{\frac{n(n-3)}{2}}(m-2n+7)^{n-1}$$

et elle est définie positive ssi  $m > 4n-7$ .

## RÉFÉRENCES

- [Bi] S. Bigelow, *Braid groups are linear*, J. Am. Math. Soc. **14**, 471-486 (2001).
- [BW] J.S. Birman, H. Wenzl, *Braids, Link polynomials and a new algebra*, Trans. AMS **313** 249-273 (1989).
- [Bo] N. Bourbaki, *Groupes et algèbres de Lie, chapitres 4,5,6*, Hermann 1968.
- [BM] M. Broué, G. Malle *Zyclotomische Heckealgebren*, Astérisque **212**, 7-92 (1993).
- [Bu] R. Budney, *On the image of the Lawrence-Krammer representation*, prépublication [\protect\vrule width0pt\protect\href{http://arxiv.org/abs/math/0202246}](http://arxiv.org/abs/math/0202246){arXiv:math.GT/0202246}.
- [CW] A.M. Cohen, D.B. Wales, *Linearity of Artin groups of finite type*, Israel J. Math, **131**, 101-123 (2002).
- [CGW] A.M. Cohen, D.A.H. Gijssbers, D.B. Wales, *BMW Algebras of simply laced type*, J. Algebra **286**, No. 1, 107-153 (2005).
- [Cr] J. Crisp, *Injective maps between Artin groups*, p. 119-137 in *Geometric group theory down under*, De Gruyter, 1999.
- [D] F. Digne, *On the linearity of Artin braid groups*, J. Algebra **268**, No.1, 39-57 (2003).
- [Dr] V.G. Drinfel'd, *On quasitriangular quasi-hopf algebras and a group closely connected with  $\text{Gal}(\overline{\mathbb{Q}}/\mathbb{Q})$* , Leningrad Math. J. **2** No. 4, 829-860 (1991).
- [En] B. Enriquez, *Quasi-reflection algebras, multiple polylogarithms at roots of 1, and analogues of the group  $GT$* , prépublication [\protect\vrule width0pt\protect\href{http://arxiv.org/abs/math/0408035}](http://arxiv.org/abs/math/0408035){arXiv:math.QA/0408035}.
- [Ko] T. Kohno, *Série de Poincaré-Koszul associée aux groupes de tresses pures*, Invent. Math. **82**, 57-76 (1985).
- [Kr] D. Krammer, *Braid groups are linear*, Annals of Math. **155**, 131-156 (2002).
- [L] R. Lawrence, *Homological representations of the Hecke algebras*, Commun. Math. Physics **135**, 141-191 (1990).
- [Ma1] I. Marin, *Représentations linéaires des tresses infinitésimales*, thèse de l'université Paris XI-Orsay, 2001.
- [Ma2] I. Marin, *Quotients infinitésimaux du groupe de tresses*, Ann. Inst. Fourier, Grenoble, **53** No. 5, 1323-1364 (2003).
- [Ma3] I. Marin, *Irréductibilité générique des produits tensoriels de monodromies*, Bull. Soc. Math. Fr. **132** 201-232 (2004).
- [Ma4] I. Marin, *Monodromie algébrique des groupes d'Artin diédraux*, prépublication [\protect\vrule width0pt\protect\href{http://arxiv.org/abs/math/0502115}](http://arxiv.org/abs/math/0502115){arXiv:math.RT/0502115}.
- [Ma5] I. Marin, *On the representation theory of braid groups*, prépublication [\protect\vrule width0pt\protect\href{http://arxiv.org/abs/math/0502118}](http://arxiv.org/abs/math/0502118){arXiv:math.RT/0502118}.
- [Ma6] I. Marin, *L'algèbre de Lie des transpositions*, prépublication [\protect\vrule width0pt\protect\href{http://arxiv.org/abs/math/0502119}](http://arxiv.org/abs/math/0502119){arXiv:math.RT/0502119}.
- [Ma7] I. Marin, *On the residual nilpotence of pure Artin groups*, prépublication [\protect\vrule width0pt\protect\href{http://arxiv.org/abs/math/0502120}](http://arxiv.org/abs/math/0502120){arXiv:math.GR/0502120}, to appear in J. Group Theory.
- [PP] L. Paoluzzi, L. Paris, *A note on the Lawrence-Krammer-Bigelow representation*, Algebr. Geom. Topol. **2**, 499-518 (2002).
- [Z] M. Zinno, *On Krammer's representations of the braid group*, Math. Ann. **321**, 197-211 (2001).

69 RUE SÉBASTIEN GRYPHE, F-69007 LYON

E-mail address: [imarin@maths.univ-evry.fr](mailto:imarin@maths.univ-evry.fr)

URL: [http://www.maths.univ-evry.fr/pages\\_perso/marin](http://www.maths.univ-evry.fr/pages_perso/marin)